

# 各種形状橋脚の局所洗掘に及ぼす影響

鳥取大学大学院 ○学生員 渡辺 康二  
鳥取大学大学院 学生員 香川 章  
鳥取大学工学部 正員 鈴木 幸一

1. はじめに: 河川における橋脚は正常な通水を阻害し、その周辶に急激な局所流速が発生することによって周辶河床を著しく変化させる。従来、この局所洗掘現象に関する研究は数多くなされているが、その多くは円柱橋脚周辶の河床変動に関するものであって、橋脚形状を系統的に変化させて洗掘に及ぼす橋脚形状の影響は、まだ十分明らかにされていないといふのが実状である。本研究では各種形状橋脚に対して河川主流方向と橋脚の軸とのなす角θ(図-1参照)が変化する場合の局所洗掘特性について実験的考察を行なう。

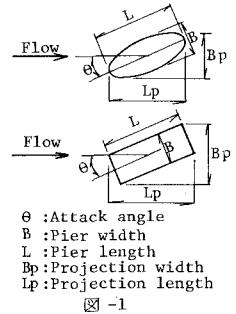
2. 実験の概要: 実験用いた水路は、全長14m、幅0.6m、深さ0.4mのコンクリート製長方形断面水路である。そして、その中央部には長さ0.6m、幅0.4mの移動床を設け、その中央に模型橋脚を設置する。用いた模型橋脚の水平断面は図-2に示すような円(記号:E), 橋円(記号:D I および D II), 矩形(記号: K I, K II および K III)の計6種類である。実験条件は、表-1に示すとおりで、全て橋脚の影響のないところでは砂の移動がない静的洗掘の水理条件である。なお、砂粒径は、上限と下限がそれぞれソニニガ 0.04cm と 0.042cm の範囲でふるい分けられた中央粒径 0.063cm のほぼ均一な砂である。

3. 洗掘深の時間的变化: 図-3へ4に最大洗掘深の時間的变化の一例を示す。

従来の研究によると円柱周辶部での局所洗掘機構は一般に1)主流による掃流過程、2)馬蹄形渦による洗掘孔の発達過程、3)安定渦による洗掘過程、4)堆積

による流れの変化過程に分類される。迎え角が0°の場合(図-3)には、その洗掘速度から1)の洗掘過程が精円柱橋脚についてはゆるやかに進み大約10秒近くまで続くのに対し、角柱橋脚については急速に起り、その洗掘深も大きく大約3秒程度で2)の洗掘過程に移っていることがわかる。また、2), 3)の洗掘過程に移ると橋脚の流れ方向の長い橋脚は比較的早く平衡状態に近づき、D IIについては大約900秒から4)の洗掘過程も見られる。迎え角が10°, 20°, 30°と増加すると精円柱橋脚についても1)の洗掘過程で洗掘が急速に生じ、以後の洗掘過程ではどの洗掘速度もほぼ等しい。しかし、迎え角が45°の場合には1)の洗掘過程で角柱橋脚の場合には洗掘はいくぶんゆるやかになる。以上のことより1)の洗掘過程に大きく影響を及ぼすのが前面形状および河川横断方向の橋脚幅Lpであり、2), 3)の洗掘過程においては橋脚の流下方向への長さが主に影響するものと考えられる。

4. 洗掘形状: 図-5へ11に示すように洗掘形状の特徴は、一般的に迎え角が増加すると洗掘範囲が広くなり橋脚の長さL(図-1参照)の長いものほどこの現象は顕著である。また、迎え角が20°, 30°の場合には洗掘孔の斜面が橋脚の右岸側ではゆるやかで、左岸側では急である。これは、ある程度前面の洗掘が進むと左岸側の堆積砂が流れに抵抗するため流れは右岸側の方に向く。しかし、右岸



$\theta$ : Attack angle  
B: Pier width  
L: Pier length  
Bp: Projection width  
Lp: Projection length

図-1

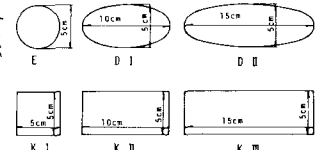


図-2 Types of piers

表-1 Experimental conditions and final maximum scour depth

RUN	TYPE	$\theta(^{\circ})$	$d_{ss}$ (cm)	$H_0$ (cm)	$U$ (cm/sec)	$Z_s$ (cm)
1	E	0	0.063	11.7	24.2	5.7
2	K I	0	0.063	11.7	24.8	5.6
3	K I	10	0.063	11.7	24.7	5.3
4	K I	20	0.063	11.7	24.5	5.7
5	K I	30	0.063	11.7	24.6	5.8
6	K I	45	0.063	11.7	24.5	5.9
7	K II	0	0.063	11.7	24.8	4.7
8	K II	10	0.063	11.7	24.5	5.4
9	K II	20	0.063	11.7	24.8	6.7
10	K II	30	0.063	11.7	24.8	8.1
11	K II	45	0.063	11.7	25.3	6.8
12	K III	0	0.063	11.7	24.6	4.7
13	K III	10	0.063	11.7	24.4	5.1
14	K III	20	0.063	11.7	24.6	6.5
15	K III	30	0.063	11.7	24.7	7.4
16	K III	45	0.063	11.7	25.0	8.0
17	D I	0	0.063	11.7	24.7	3.7
18	D I	10	0.063	11.7	24.7	3.7
19	D I	20	0.063	11.7	24.8	4.4
20	D I	30	0.063	11.7	24.7	4.9
21	D I	45	0.063	11.7	24.7	6.8
22	D II	0	0.063	11.7	24.8	2.6
23	D II	10	0.063	11.7	25.0	3.0
24	D II	20	0.063	11.7	24.8	3.9
25	D II	30	0.063	11.7	24.7	5.6
26	D II	45	0.063	11.7	24.8	9.3

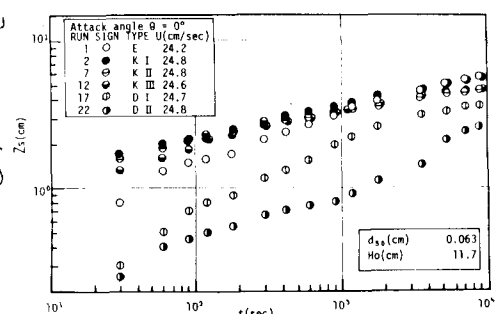


図-3 Relationship between maximum scour depth  $Z_s$  and elapsed time  $t$  (attack angle  $\theta = 0^{\circ}$ )

側の馬蹄形渦は弱いため洗掘深があまり深くなっているのであろう。そのため、KII, KIIIの迎え角が45°の場合には橋脚下流部附近での馬蹄形渦は強いためこの部分の洗掘深も大きくなっている。

**5. 最終最大洗掘深: 複雑な意味での平衡洗掘深を求めるに**とは非常に困難である。そこで本研究では、洗掘開始後2時間30分の最大洗掘深を一定最終最大洗掘深とした。一般に橋脚周辺の局所洗掘は橋脚周辺の局所的な挾流力の増加および渦の発生によって起ころ。そして、この2つの現象と關係深い主な要素は水理条件が一定であれば、河川横断方向への橋脚の投影幅、前面形状および橋脚の主流方向の長さであろうと考えられる。そこで迎え角 $\theta$ が $0^\circ \sim 45^\circ$ の範囲においては図-1にからもわかるように横円柱橋脚の場合には迎え角が増加すると投影幅 $B_p$ も大きくなり、前面形状も流れに対する抵抗の大きな形となり、流れの乱れは大きくなり洗掘深も大きくなる。一方、角柱橋脚の場合には迎え角が増加し投影幅が増加するが前面形状が鋭角となり洗掘深を減少させる作用もある。そして、迎え角が小さい場合は前者が卓越し洗掘深は迎え角の増加とともに大きくなるが、迎え角 $45^\circ$ になると後者が卓越し洗掘深は小さくなる。以上のことを考慮に入れて最終最大洗掘深を表すモデルを考える。水理条件が等しく迎え角が $0^\circ$ の場合各形状橋脚の最終最大洗掘深 $Z_{so}$ と円柱橋脚の最終最大洗掘深 $Z_{eo}$ との比 $Z_s/Z_{so} = (k_e/k_e)^m (B/B_e)^n$ で表わされている。ここに、 $B'$ : 横円(角柱)の場合は外接横円の短軸長、 $k_e = B'/L$ ,  $k_e$ : 円の $k_e$ ( $k_e=1$ )、 $B_e$ : 円の幅、 $m, n$ : 水理条件によって定まる定数である。この式で $(k_e/k_e)^m$ は橋脚の流下方向への長さの洗掘深に及ぼす影響を、 $(B/B_e)^n$ は河川横断方向の橋脚幅の影響を大ざっぱに示している。この考えに基づき、ここでは各形状橋脚の最終最大洗掘深 $Z_s$ とそれぞれの迎え角 $0^\circ$ の場合の最終最大洗掘深 $Z_{so}$ との比 $Z_s/Z_{so}$ は $Z_s/Z_{so} = A(k_e/k_e)^m (B/B_e)^n$ で表わせると考えられる。ここで $A$ は各橋脚の迎え角 $\theta$ と $\beta$ の場合の前面形状が洗掘深に及ぼす効果の比、 $k_e = B_p/L_p$ ,  $k_e = B/L$ (図-1参照)、 $\alpha, \beta$ は定数である。そこで、 $A$ を簡単に $A = (1 + \alpha\theta)(\alpha: \text{角柱の場合}, \beta \approx -0.01 \text{程度}, \text{横円の場合} \alpha \approx 0.001 \text{程度})$ とすると $Z_s/Z_{so}$ は $Z_{so}$ と迎え角 $\theta$ との関数となり計算ができる。計算結果と実測値は図-13のように比較的よく一致する。

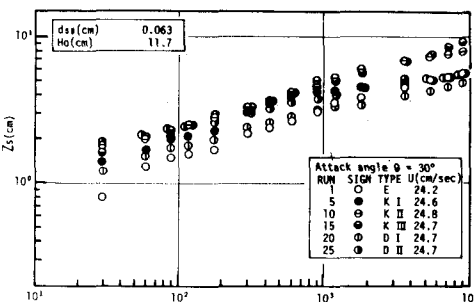


図-4 Relationship between maximum scour depth  $Z_s$  and elapsed time  $t$  (attack angle  $\theta=30^\circ$ )

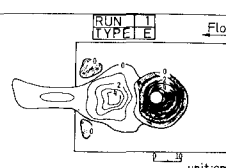


図-5 洗掘形状図

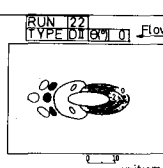


図-6 洗掘形状図

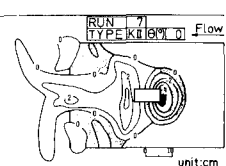


図-7 洗掘形状図

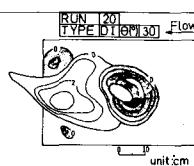


図-8 洗掘形状図

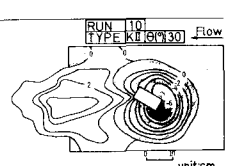


図-9 洗掘形状図

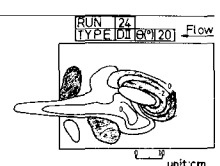


図-10 洗掘形状図

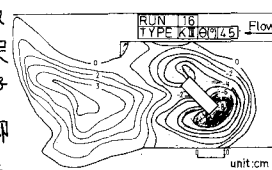


図-11 洗掘形状図

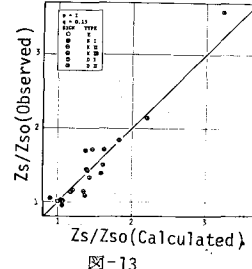


図-12 Relationship between final maximum scour depth  $Z_s$  and attack angle  $\theta$